

В.Э. Адлер · Классические интегрируемые системы
Лекция 13 · 2 мая 2022

Заключительные замечания

Что мы прошли

(с разной степенью подробности, в основном — на простейшем примере уравнения КдФ)

- представления Лакса или нулевой кривизны
- законы сохранения
- симметрии (классические и высшие)
- оператор рекурсии
- подстановки типа Миуры
- метод обратной задачи рассеяния
- преобразования Дарбу–Бэкунда
- решения:
 - ▶ многосолитонные (потенциалы Баргманна)
 - ▶ конечнозонные (уравнения Новикова и Дубровина)
 - ▶ автомодельные (уравнения Пенлеве)
- слегка затронули другие типы уравнений, в частности:
 - ▶ цепочки (Вольтерры, Тоды, одевающая)
 - ▶ дискретные уравнения (суперпозиция ПБ)

Что мы не прошли

- теория и приложения дифференциальных и псевдодифференциальных операторов
- представления Лакса на алгебрах Ли
- лагранжева и гамильтонова структура, би-гамильтоновость
- r -матричный формализм
- билинейные уравнения Хироты
- рациональные решения
- задачи с «неинтегрируемыми» граничными условиями (типа задач Гуревича–Питаевского)
- различные классы уравнений, в частности:
 - ▶ интегрируемые отображения (пример — биллиард в квадрике)
 - ▶ задачи многих тел (пример — система Калоджеро–Мозера для полюсов рациональных решений КdФ)
 - ▶ трехмерные уравнения (пример — уравнение Кадомцева–Петвиашвили)
- связи с квантовыми интегрируемыми моделями

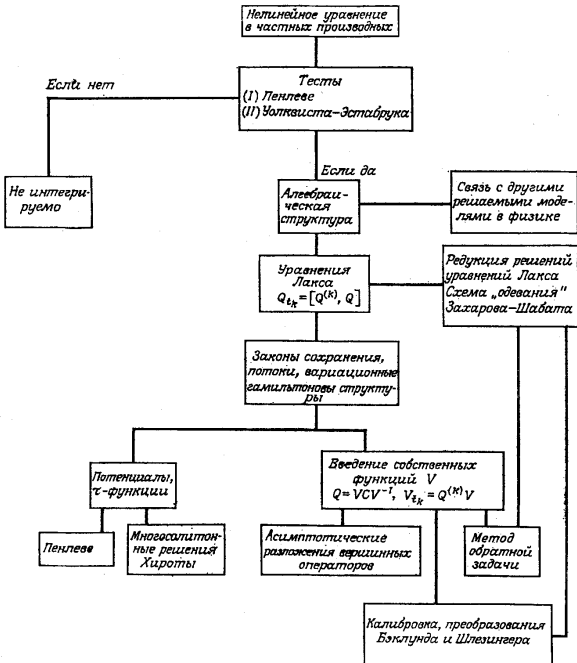
Все эти темы и сюжеты тесно связаны друг с другом.

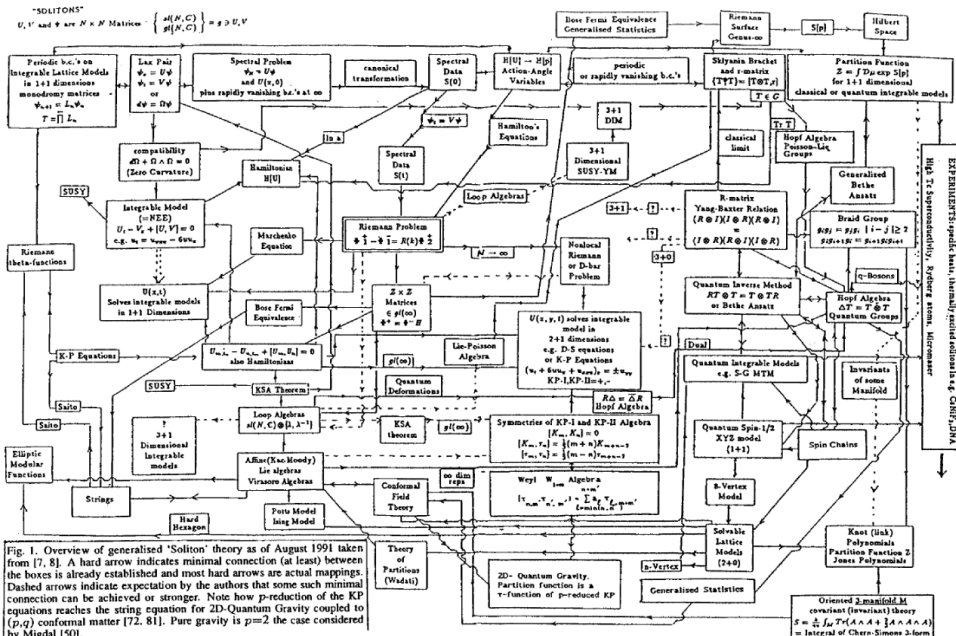
Справа схема из учебника

- A. Ньюэлл. Солитоны в математике и физике, 1989.

На следующей странице продвинутая схема из обзора на конференции, посвященной 100-летию уравнения КдФ

- R.K. Bullough, P.J. Caudrey. Solitons and the Korteweg-de Vries Equation: integrable systems in 1834–1995. *Acta Appl. Math.* **39** (1995) 193–228.





Некоторые знакомые формулы можно разглядеть в левой части схемы. Правая часть посвящена квантовым интегрируемым моделям, которые вы будете изучать на последующих курсах.

Из связей между этими частями, можно отметить, что вычисление некоторых статсумм приводит к уравнениям Пенлеве и, в более общем случае, к «струнным» уравнениям, которые представляют собой стационарные уравнения для высших потоков КдФ плюс классическая симметрия Галилея. (Внизу схемы)

Напоследок, остановимся коротко на одном из центральных понятий в правой части схемы — уравнении Янга–Бакстера. Оказывается, и в нашем курсе нечто подобное тоже было, хотя в другом контексте.

Уравнение Янга–Бакстера

Пусть дано линейное отображение

$$R : V \otimes V \rightarrow V \otimes V,$$

где V некоторое линейное пространство.

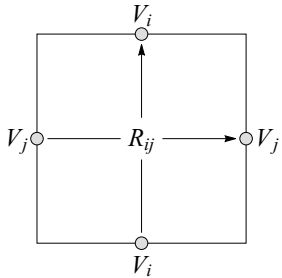
Определим отображения

$$R_{ij} : V \otimes V \otimes V \rightarrow V \otimes V \otimes V,$$

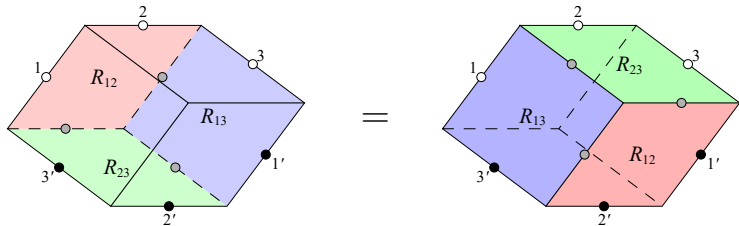
действующее как R на i -й и j -й компоненте произведения и тождественно на оставшейся. Говорят, что R удовлетворяет уравнению Янга–Бакстера, если выполняется равенство (на схеме записано в других обозначениях)

$$R_{23}R_{13}R_{12} = R_{12}R_{13}R_{23}.$$

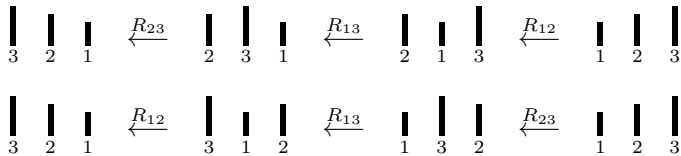
Смысл этого уравнения означает «совместность отображения вокруг куба», причём i -я копия пространства V ассоциируется с параллельными рёбрами куба, а само отображение R — с гранью куба.



Используя грани на кубе, можно отобразить $V \otimes V \otimes V$ в себя двумя разными способами. Уравнение Янга–Бакстера означает, что они приводят к одному и тому же результату.



Что это напоминает? Конечно, фазовый сдвиг при взаимодействии солитонов. Его окончательная величина не зависит от порядка столкновений. Для трёх солитонов есть два возможных сценария:



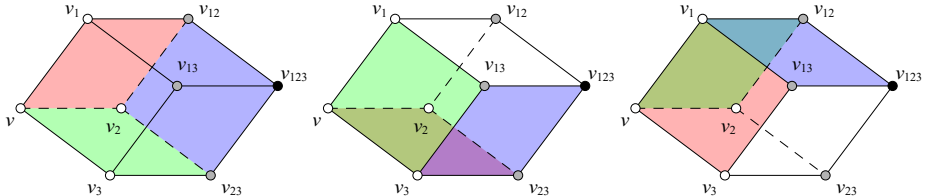
Но это ещё не всё: аналогичным свойством обладают также формулы суперпозиции преобразований Дарбу–Бэкунда. Для построения многосолитонных решений, мы использовали отображение

$$v_{ij} = v - \frac{\alpha_i - \alpha_j}{v_i - v_j},$$

где переменные v приписаны вершинам квадрата и симметричны по индексам, а параметры α приписаны рёбрам (или координатным направлениям). По заданным v, v_1, v_2, v_3 можно вычислить

$$v_{123} = -\frac{(\alpha_2 - \alpha_1)v_1v_2 + (\alpha_3 - \alpha_2)v_2v_3 + (\alpha_1 - \alpha_3)v_3v_1}{(\alpha_2 - \alpha_1)v_3 + (\alpha_3 - \alpha_2)v_1 + (\alpha_1 - \alpha_3)v_2}$$

тремя разными способами (например, сначала v_{13} , v_{23} , и по ним v_{123}), дающими один и тот же результат.



Это та же самая совместность вокруг куба, отличия связаны лишь с другим способом выбора начальных данных.

Если вместо v, v_1, v_2, v_3 выбрать начальные данные v, v_1, v_{12}, v_{123} в других четырёх вершинах, то получатся те же два способа раскраски, что раньше.

Также, можно перейти от переменных v в вершинах к переменным на рёбрах (удовлетворяющим одевающей цепочке, если вспомнить про x)

$$f_1 = v_1 - v, \quad f_2 = v_{12} - v_1, \quad f_3 = v_{123} - v_{12}.$$

Это приводит к примеру *нелинейного* отображения

$$R : ((f_i, \alpha_i), (f_j, \alpha_j)) \mapsto \left(\left(f_j + \frac{\alpha_j - \alpha_i}{f_i + f_j}, \alpha_i \right), \left(f_i + \frac{\alpha_i - \alpha_j}{f_i + f_j}, \alpha_j \right) \right),$$

удовлетворяющего уравнению Янга–Бакстера.